
Quantitative Bestimmung von Materialeigenschaften mittels aktiver Thermografie

G. Hendorfer
Fachhochschule OÖ

Thermografieforum Eugendorf 2018

HAGENBERG | LINZ | STEYR | WELS



UNIVERSITY
OF APPLIED SCIENCES
UPPER AUSTRIA

NDT-Methoden

Methoden der ZfP an der Fachhochschule Wels

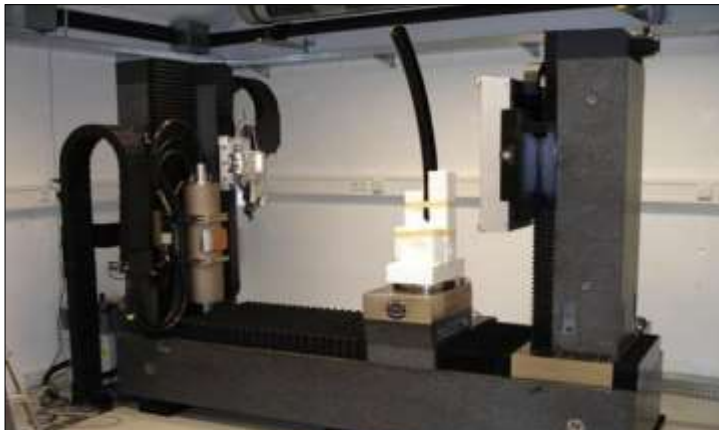
Aktive Thermografie



Shearografie



3D Computertomografie

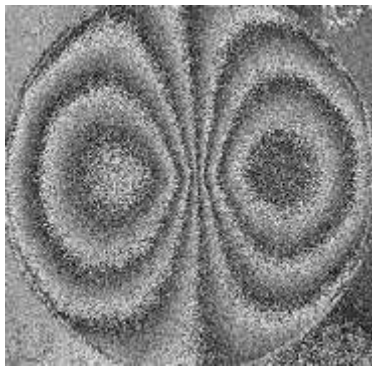
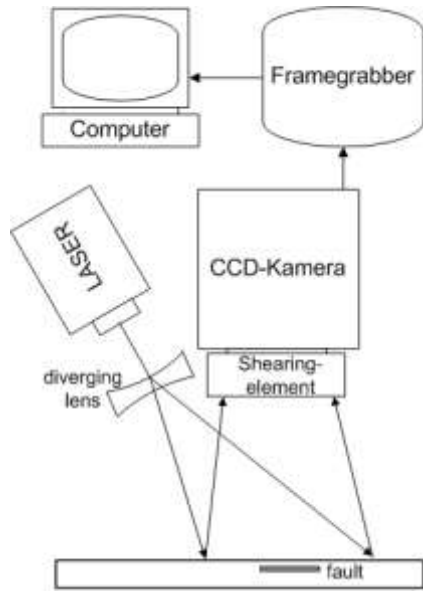


Modalanalyse



Methoden der ZfP

Shearografie - Equipment



Shearografie-System



Möglichkeiten der Anregung

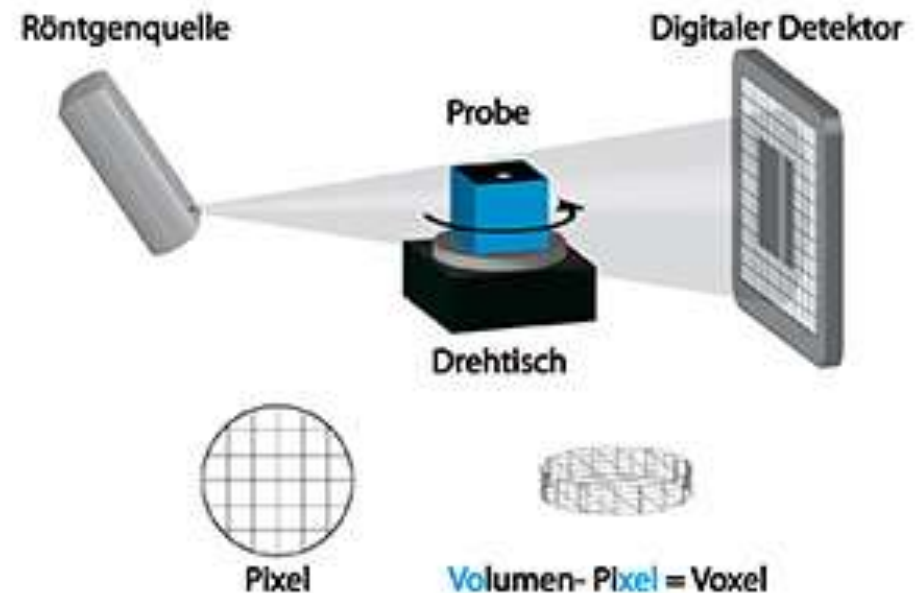


Methoden der ZfP

Radiografische Prüfmethoden



„Konventionelle Radiografie“

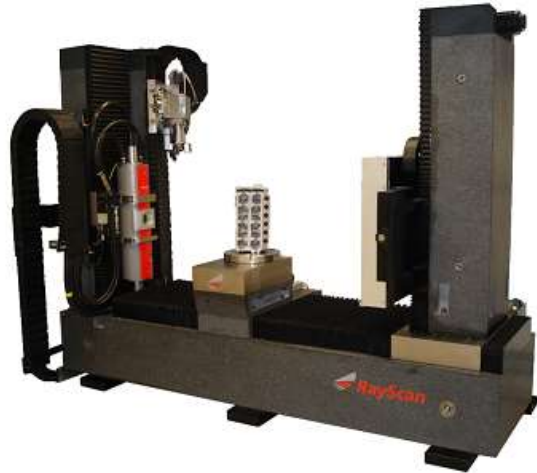


Computertomografie

P. Mix. *Introduction to Nondestructive Testing: A Training Guide*. Wiley, 2005.

Methoden der ZfP

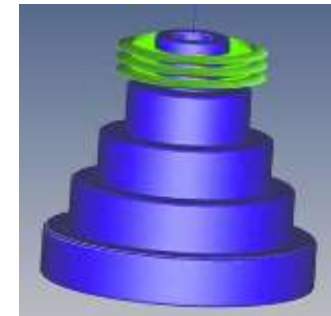
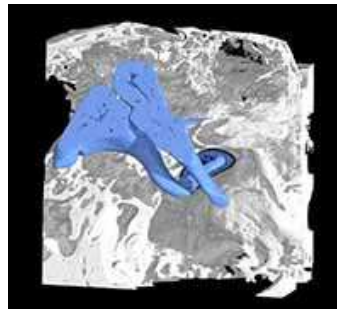
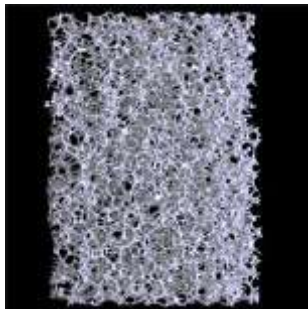
Computertomografie in der FH Wels



Dual source computed tomography system
225 kV and 450 kV X-ray source
2048 * 2048 pixel flat panel detector
5 μ m min. voxel size



Nano computed tomography system
160 kV X-ray source
Dual detector system with 1920 * 1536 pixel flat panel detector
and 4032 * 2688 pixel CCD camera
50 nm min. voxel size



Methoden der ZfP

Vergleich Delamination

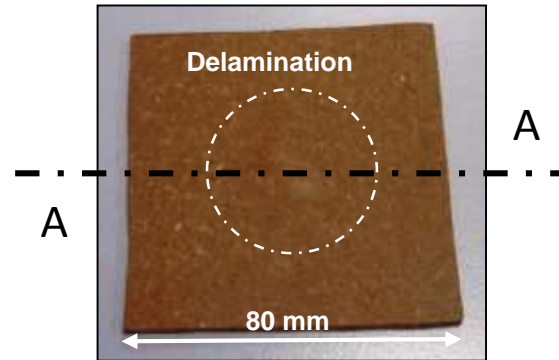
Components:

wood flour + melamine resin

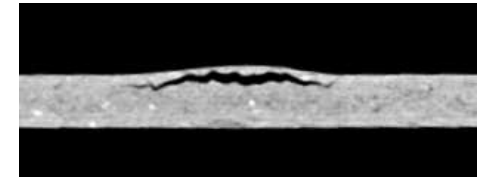
Applications:

automobile industry

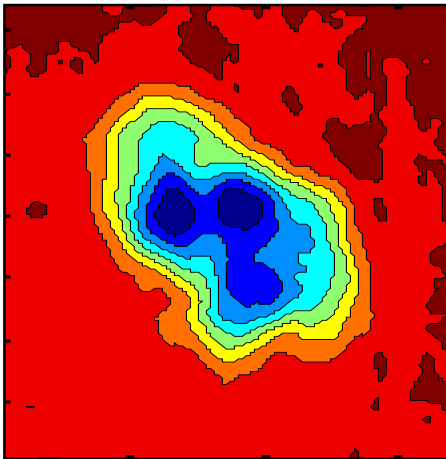
furniture industry



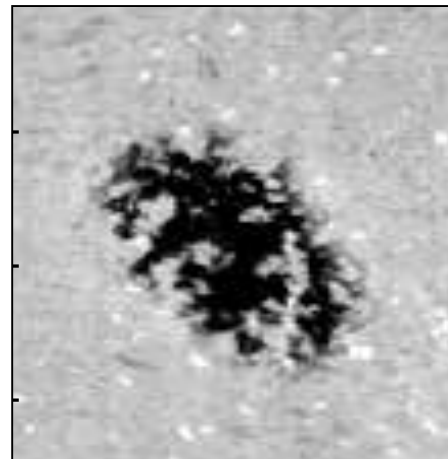
Schnitt A-A



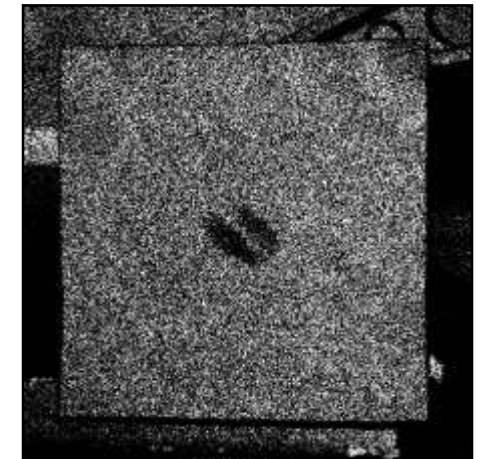
Active Thermografie



CT

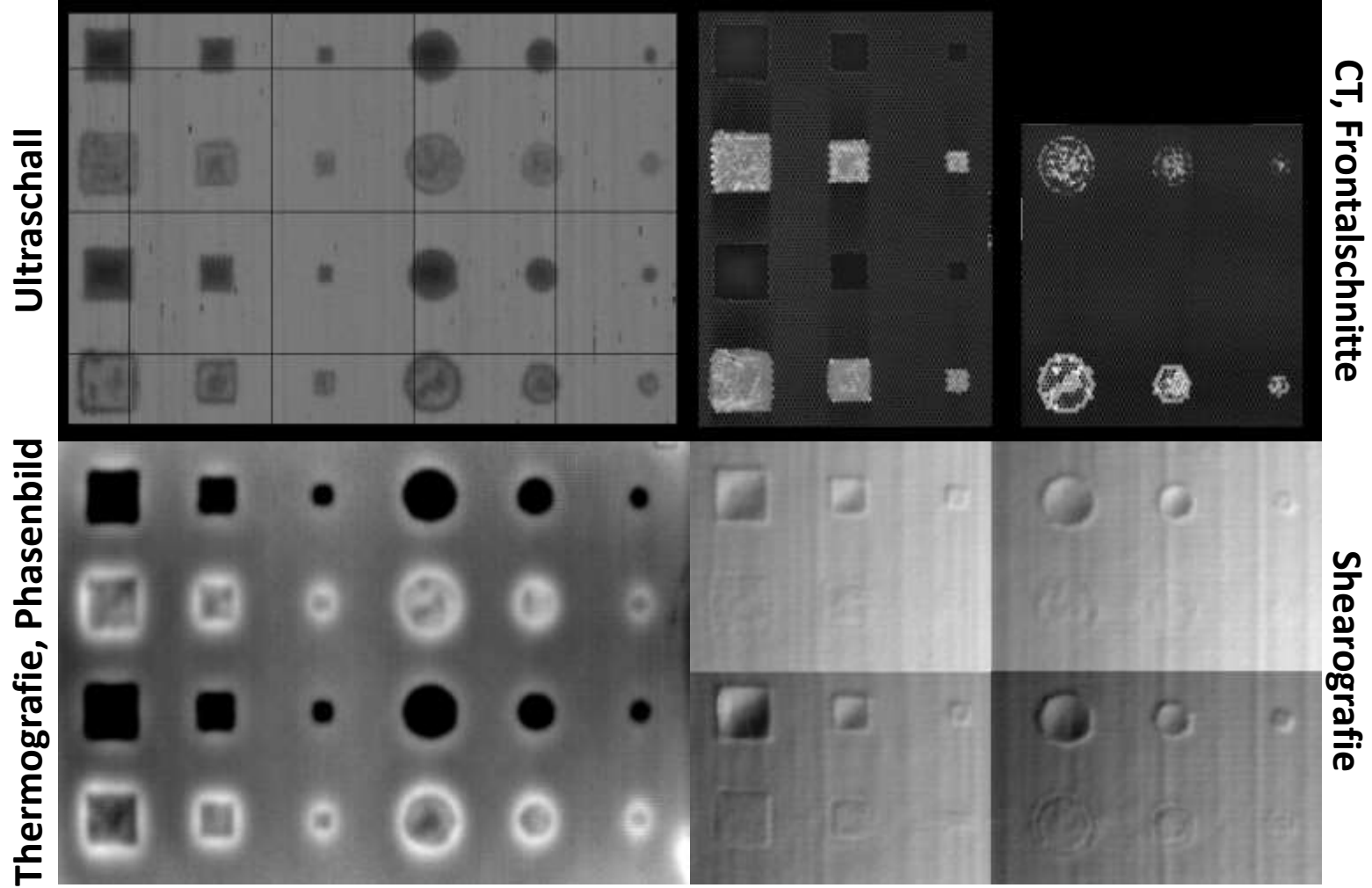


Digitale Shearografie



Methoden der ZfP

Vergleich Honeycomb-Sandwich mit Aluminiumkern

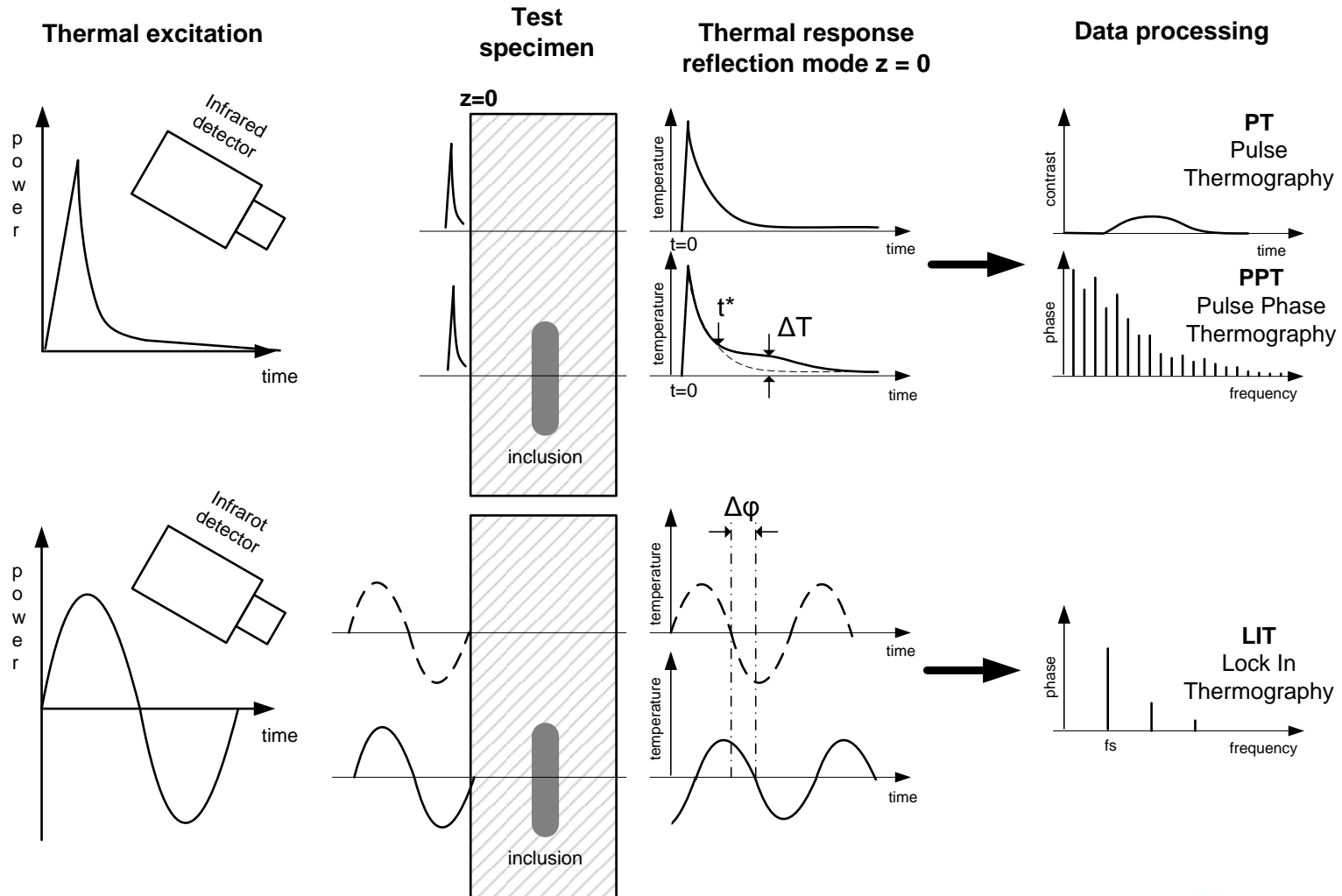


Infrarot – Methoden

Aktive Thermografie

Auswertung von Defekten und von Parametern

Puls- und Lock-In Thermografie



Grundlagen der Wärmeleitung

Allgemeine Wärmeleitungsgleichung:

$$C\rho \frac{\partial T}{\partial t} = \frac{\partial}{\partial x} \left(k_x \frac{\partial T}{\partial x} \right) + \frac{\partial}{\partial y} \left(k_y \frac{\partial T}{\partial y} \right) + \frac{\partial}{\partial z} \left(k_z \frac{\partial T}{\partial z} \right) + w(x, y, z)$$

→ bei isotropen Material: $k_x = k_y = k_z$

→ Innere Wärmequelle $w = 0$ (bei der zerstörungsfreien Prüfung)

Fourier Gleichung:

$$\frac{\partial T}{\partial t} = \frac{k}{\rho c} \left(\frac{\partial^2 T}{\partial x^2} + \frac{\partial^2 T}{\partial y^2} + \frac{\partial^2 T}{\partial z^2} \right)$$

$$\alpha = \frac{k}{\rho \cdot c}$$

... Temperaturleitfähigkeit
bzw. Diffusivität

Lösung der Fourier – Gleichung für eine DIRAC Impuls:

$$T(t) = T_0 + \left[\frac{Q/A}{\rho \cdot c \cdot \sqrt{4\pi \cdot \alpha \cdot t}} \right] \cdot \exp\left(\frac{-z^2}{4 \cdot \alpha \cdot t} \right)$$

- für einen Dirac Impuls
- eindimensionalen Fall
- thermisch dicke Platte
- in Abhängigkeit der Dicke z

Verwendete Formelzeichen

T ... Temperatur

ρ ... Dichte

k ... Wärmeleitfähigkeit

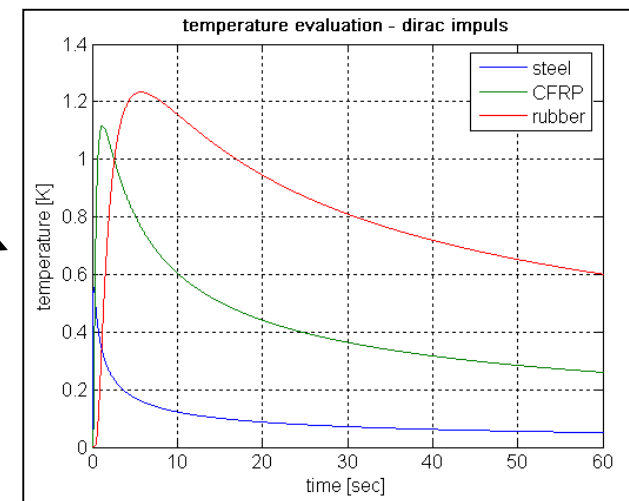
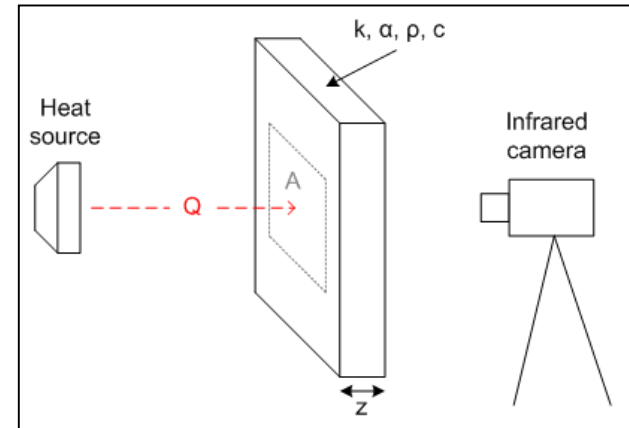
c ... Spezifische Wärme

α ... Temperaturleitfähigkeit

Q ... Anregungsenergie

A ... Fläche

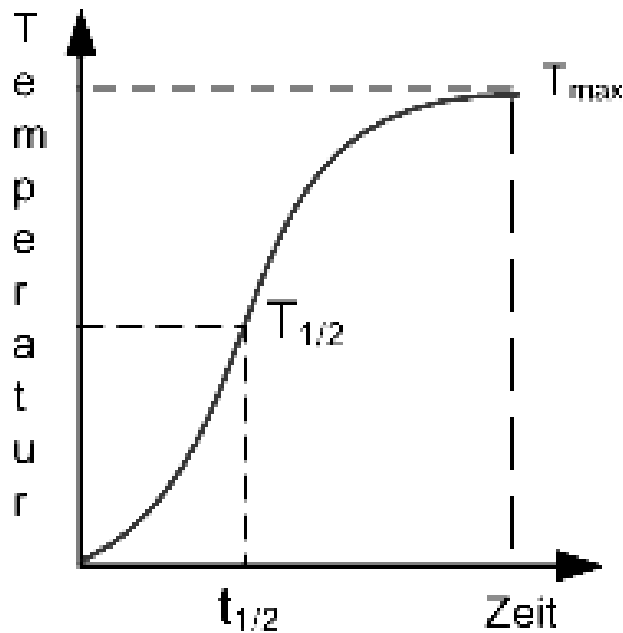
z ... Tiefe



berechnetes Modell
für verschiedene
Materialien

Bestimmung der Diffusionszeit

Parkers Methode



Vorteile

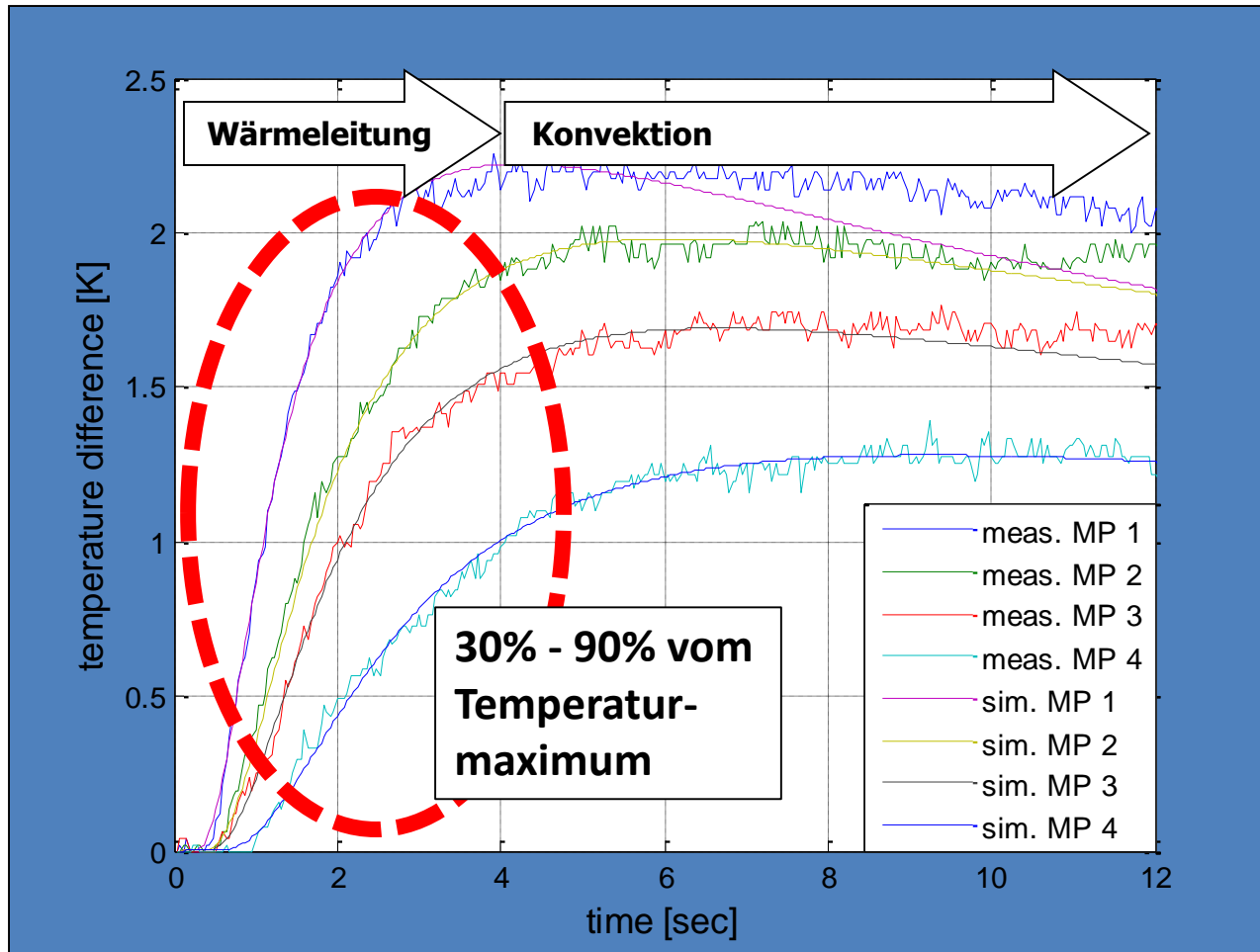
- Schnelle und einfache Auswertemethode
- Standardmethode

Nachteile

- Ungenau bei niedriger Zeitabtastung
- Ungenau bei schlechter Temperatureauflösung

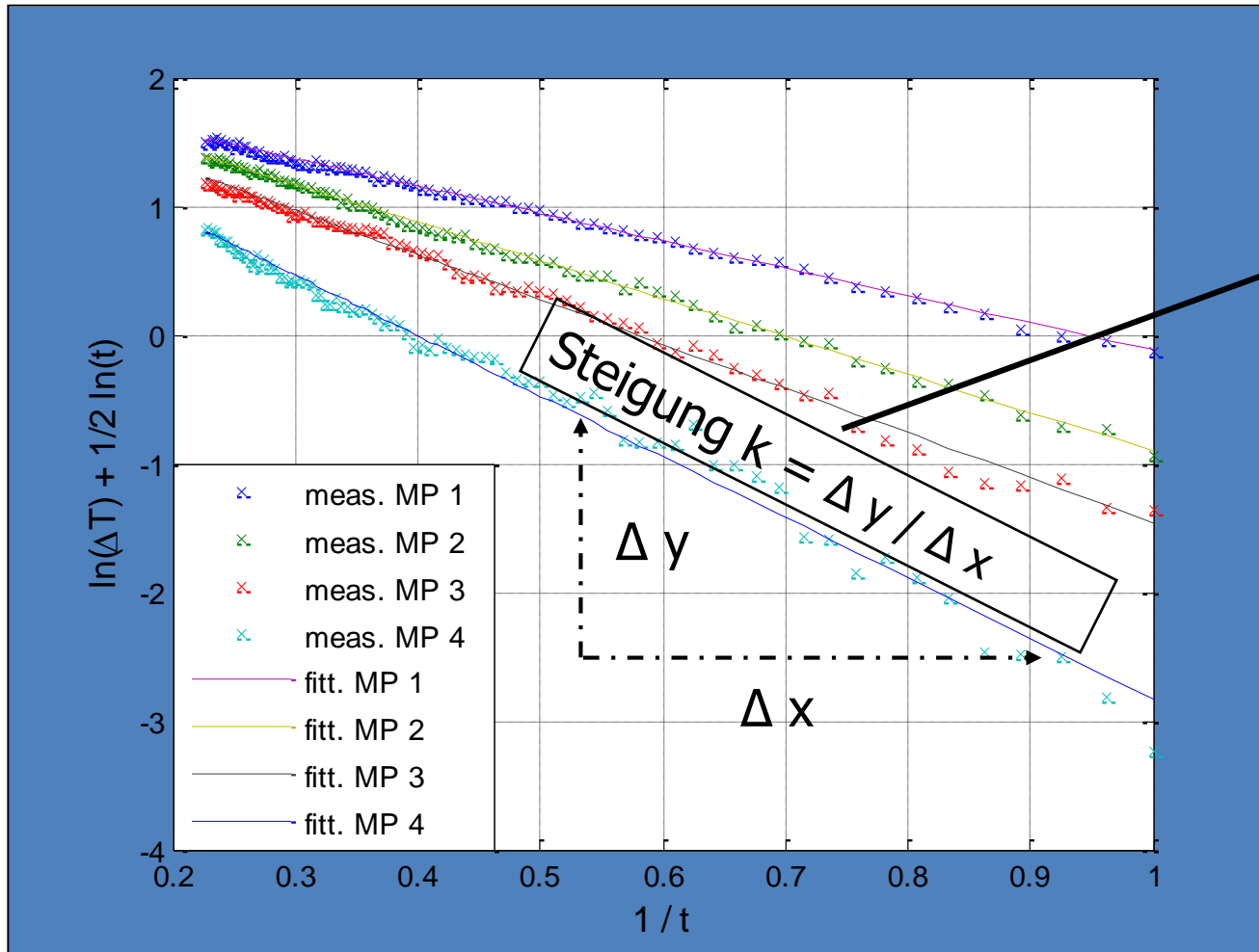
$$t_D = \frac{L^2}{a} = t_{1/2} \frac{\pi^2}{1.38}$$

Linear Diffusivity Fit



Linear Diffusivity Fit

Bestimmen der thermischen Diffusivität α



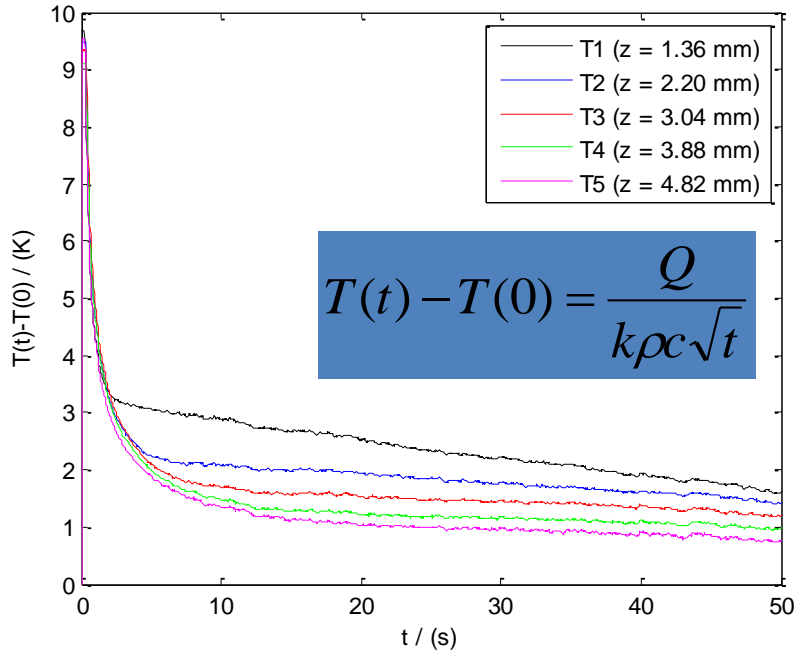
$$\alpha = -\frac{z^2}{4 \cdot k}$$

TSR Methode

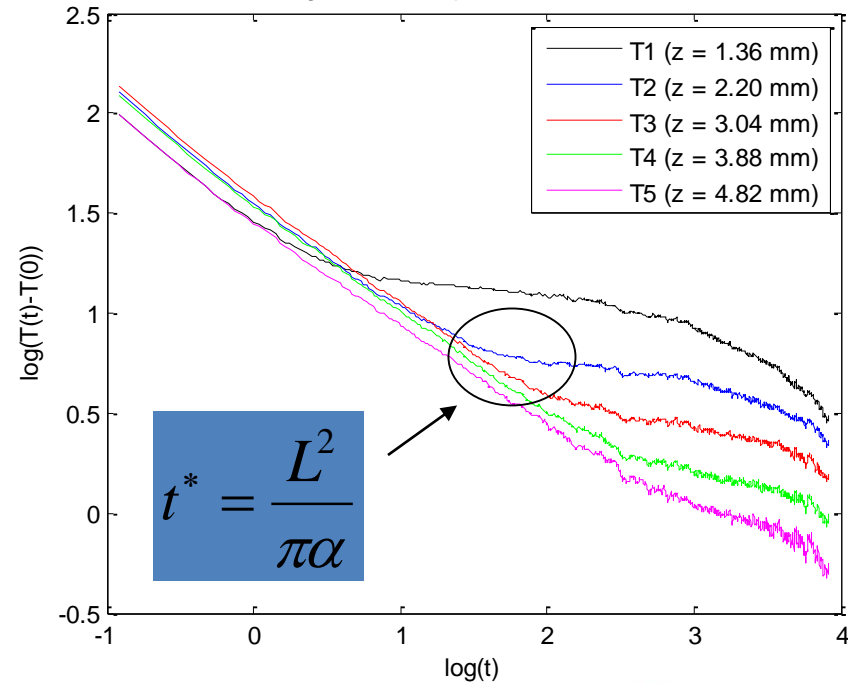
Thermal Signal Reconstruction

Reflexionsmodus

temperature evaluation



logarithmic temperature evaluation



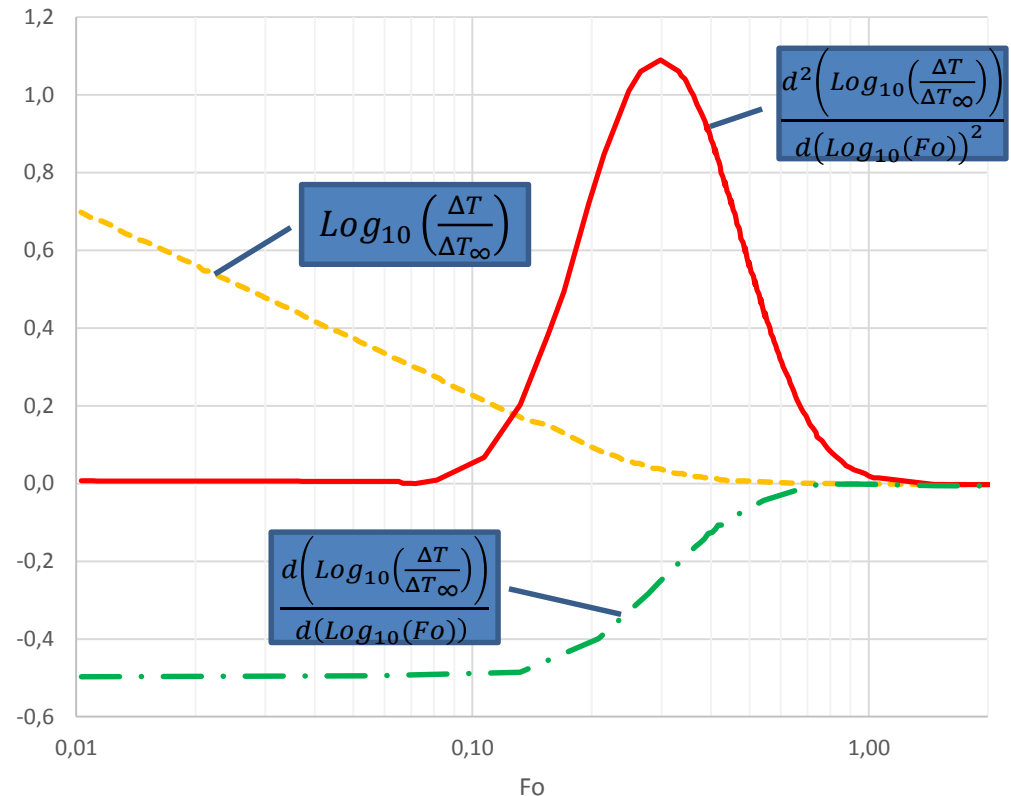
Bestimmung der Temperaturleitfähigkeit

Thermal Signal Reconstruction – Methode (TSR)

$$\Delta T(t) = \frac{Q}{e \cdot \sqrt{\pi t}} \quad \text{mit} \\ e = \sqrt{k \rho c}$$

Geradengleichung:

$$\ln(\Delta T(t)) = \ln\left(\frac{Q}{e}\right) - \frac{1}{2} \ln(\pi t)$$



Source: D. Balageas, Thickness or diffusivity measurements from front-face flashexperiments using TSR approach, In: Proc. 10th QIRT, Quebec, p. 873-880, 2010

Linear Effusivity Fit

Motivation

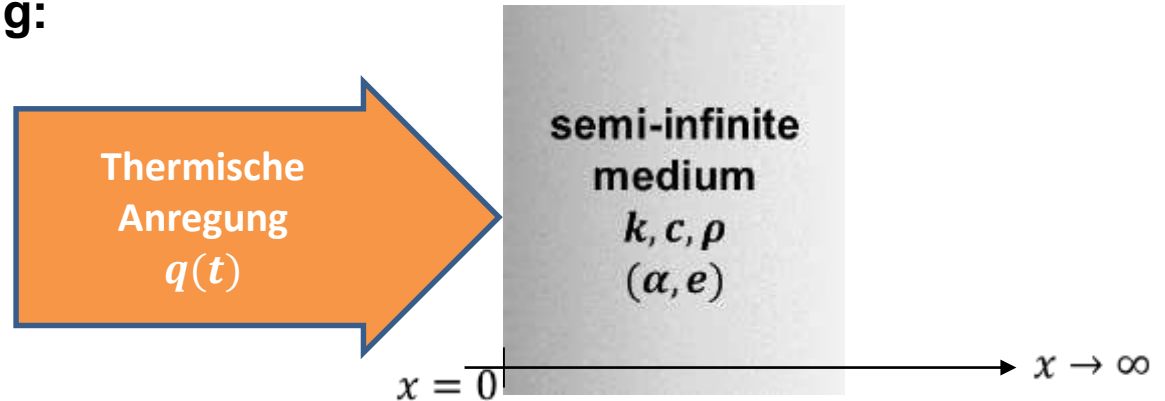
- Bei der Überprüfung muss entschieden werden, ob in Reflexion oder in Transmission gemessen wird. Diese Entscheidung hängt oftmals von der Zugänglichkeit der Probe ab.
- Meistens ist die Messung von der Vorderseite erwünscht.
- Bei einigen Auswertemethoden sind komplexe Fitting-Algorithmen anzuwenden – dies kann zu uneindeutigen Lösungen führen.

Daher: Entwicklung einer neuen Methode, mit der die thermische Effusivität e einer Probe in Reflexion ermittelt werden kann.

$$e = \sqrt{k \cdot \rho \cdot c} \quad [e] = \text{Wm}^{-2}\text{K}^{-1}\text{s}^{0.5}$$

Methode

Wärmeleitungsgleichung:
Vom Zeit- in den
Laplace-Raum



	Zeit	Laplace
Wärmeleitungsgleichung	$\frac{\partial^2}{\partial x^2} T(x, t) = \frac{1}{\alpha} \cdot \frac{\partial}{\partial t} T(x, t)$	$\frac{\partial^2}{\partial x^2} \bar{T}(x, s) = \frac{s}{\alpha} \cdot \bar{T}(x, s)$
Randbedingung 1	$-k \cdot \frac{\partial}{\partial x} T(x, t) \Big _{x=0} = q(t)$	$-k \cdot \frac{\partial}{\partial x} \bar{T}(x, s) \Big _{x=0} = \bar{q}(s)$
Randbedingung 2	$T(\infty, t) = 0$	$\bar{T}(\infty, s) = 0$
Anfangsbedingung	$T(x, 0) = 0$	$\bar{T}(x, 0) = 0$

Methode

Lösung im Laplace Raum

Allgemeine Lösung der Wärmeleitungsgleichung:

$$\bar{T}(x, s) = C_1 \cdot e^{x \cdot \frac{\sqrt{s}}{\sqrt{\alpha}}} + C_2 \cdot e^{-x \cdot \frac{\sqrt{s}}{\sqrt{\alpha}}}$$

Randbedingung 2:

$$\bar{T}(\infty, 0) = 0 \rightarrow C_1 = 0$$

Randbedingung 1:

$$-k \cdot \left. \frac{\partial T(x, s)}{\partial x} \right|_{x=0} = \bar{q}(s)$$

$$-k \cdot \left(\frac{\sqrt{s}}{\sqrt{\alpha}} \right) \cdot C_2 \cdot e^{-x \cdot \frac{\sqrt{s}}{\sqrt{\alpha}}} = \bar{q}(s) \rightarrow C_2 = \bar{q}(s) \cdot \frac{\sqrt{\alpha}}{k \cdot \sqrt{s}} = \bar{q}(s) \cdot \frac{1}{e \cdot \sqrt{s}}$$

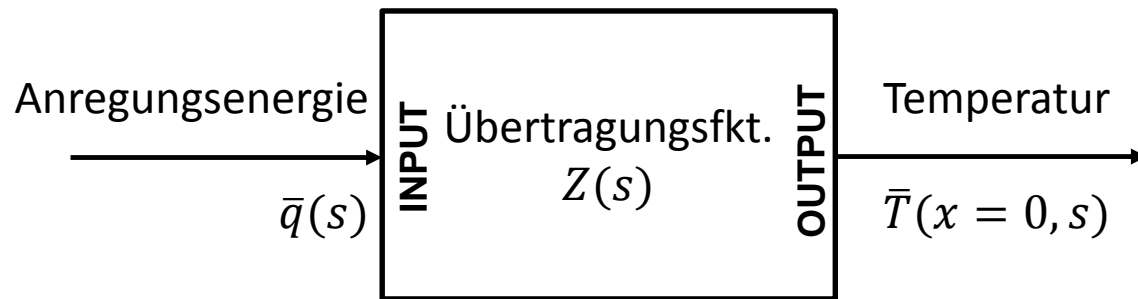
Lösung:

$$\bar{T}(0, s) = \frac{\bar{q}(s)}{e \cdot \sqrt{s}}$$

Übertragungsfunktion

Die Übertragungsfunktion $Z(s)$ für Wärmeübertragung in einem halbumendlichen Medium lautet:

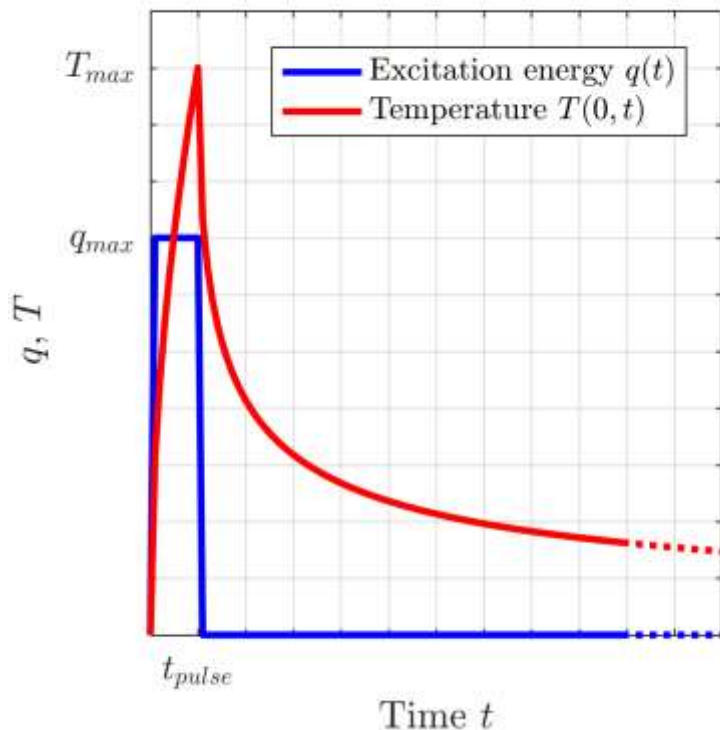
$$Z(s) = \frac{\text{Ausgang}}{\text{Eingang}}$$



$$Z(s) = \frac{\bar{T}(0, s)}{\bar{q}(s)} = \frac{\frac{\bar{q}(s)}{e \cdot \sqrt{s}}}{\bar{q}(s)} = \frac{1}{e \cdot \sqrt{s}}$$

Methode

Anregungssignal



Anregung der Probenoberfläche mit einem Rechteckpuls:

$$q(t) = q_{max} \cdot (\mathcal{H}(t) - \mathcal{H}(t - t_{pulse}))$$

Die Temperatur an der Oberfläche steigt während der Zeit

$$0 \leq t \leq t_{pulse}$$

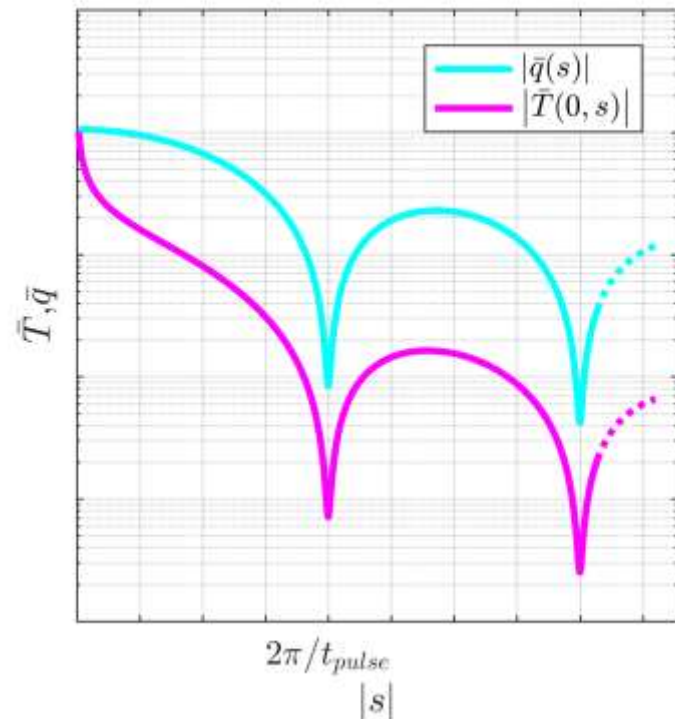
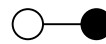
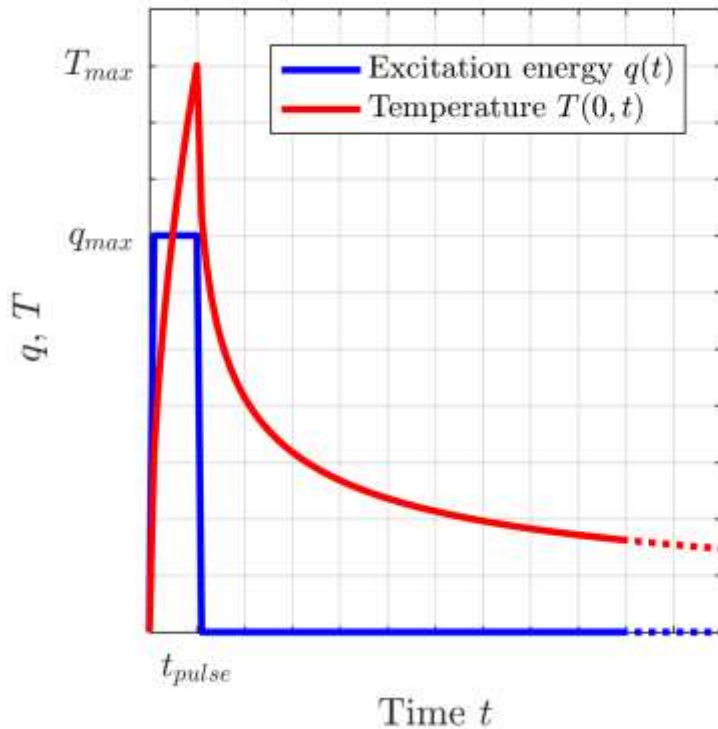
und sinkt nach der Zeit

$$t > t_{pulse}$$

Methode

Lösung im Laplace-Raum: Anregung mittels Rechteckpuls

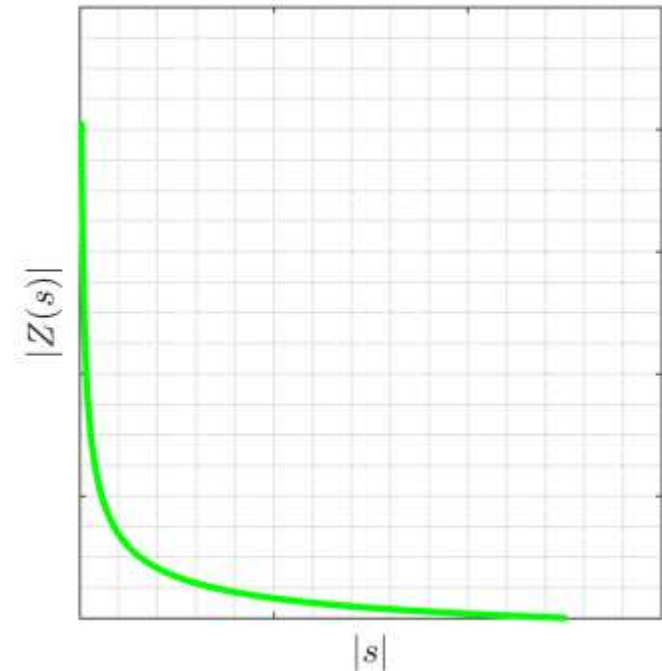
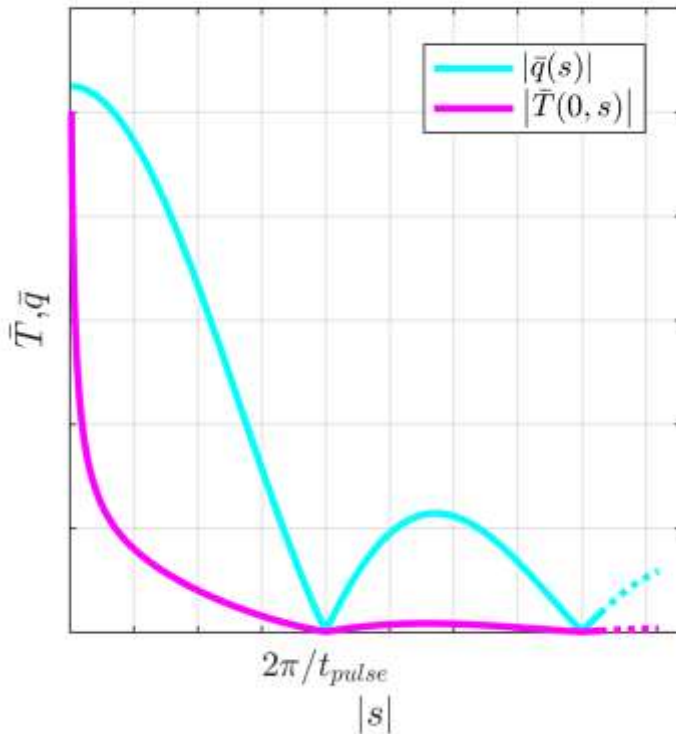
$$\bar{T}(0, s) = \frac{1}{e \cdot \sqrt{s}} \cdot \bar{q}(s)$$



Methode

Thermische Übertragungsfunktion

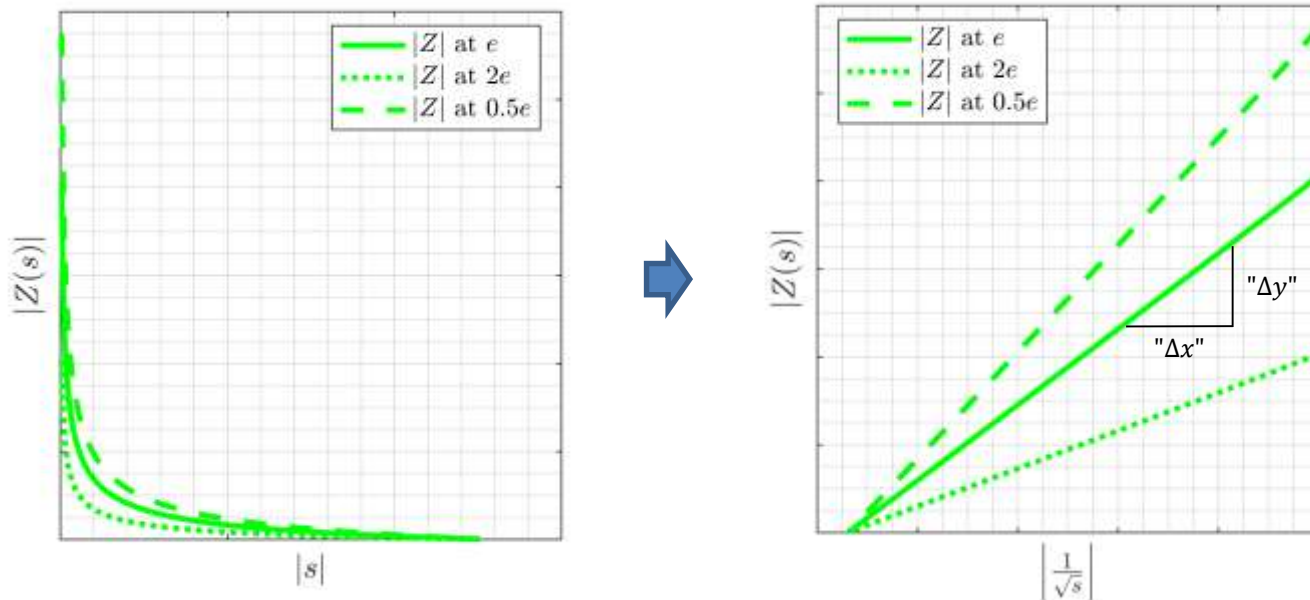
$$Z(s) = \frac{\bar{q}(s)}{\bar{T}(0, s)} = \frac{1}{e\sqrt{s}}$$



Methode

Übertragungsfunktion → Linear Effusivity Fit

Ändert man die Einheit der x-Achse, erhält man einen linearen Zusammenhang:

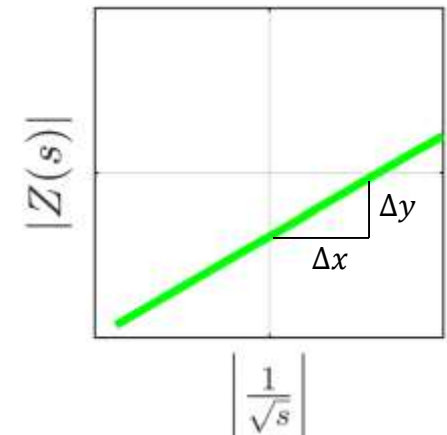
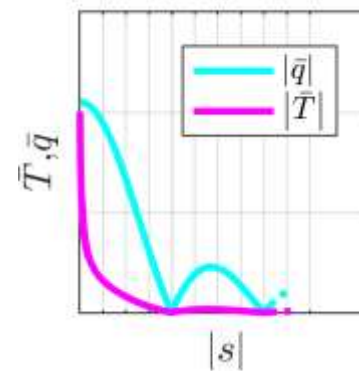
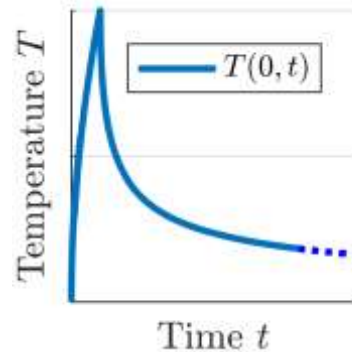
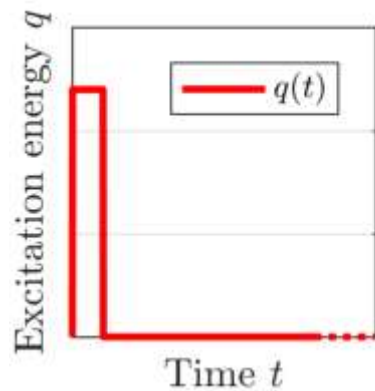
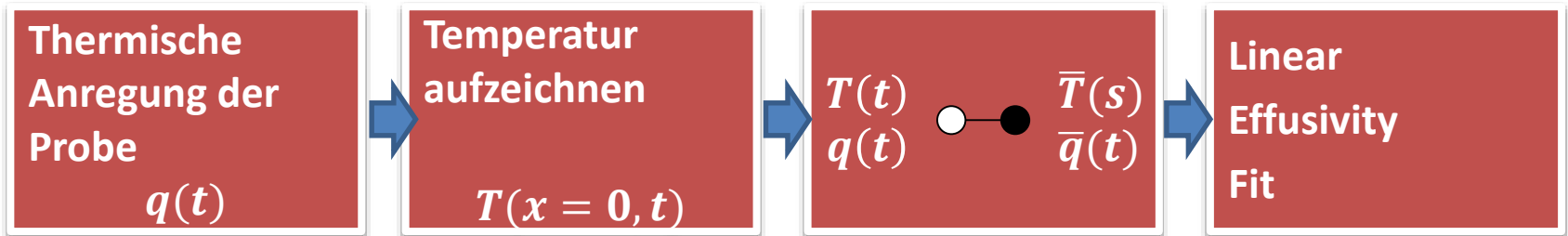


$$\text{Steigung} = \frac{\Delta y}{\Delta x} = \frac{1}{e}$$

Die Steigung der Gerade ist der Keijrwert der thermischen Effusivität e .
Die thermische Effusivität kann durch Anlegen einer Geraden ermittelt werden, einem **Linear Effusivity Fit** (LEF).

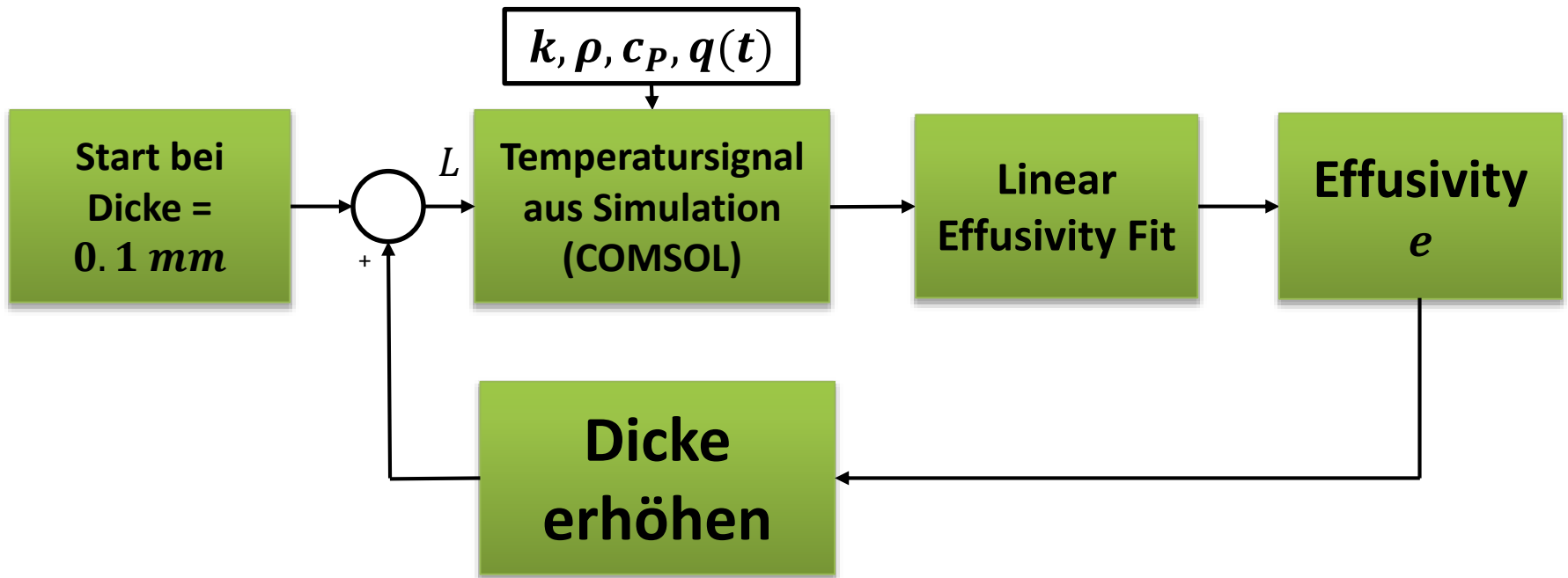
Experiment

Zusammenfassung LEF



Simulation

Einfluss der Probendicke



Simulation

Einfluss der Probendicke

Fragestellung: Wie dick darf eine Probe sein, obwohl die Methode auf einem halbumendlichen Modell beruht?

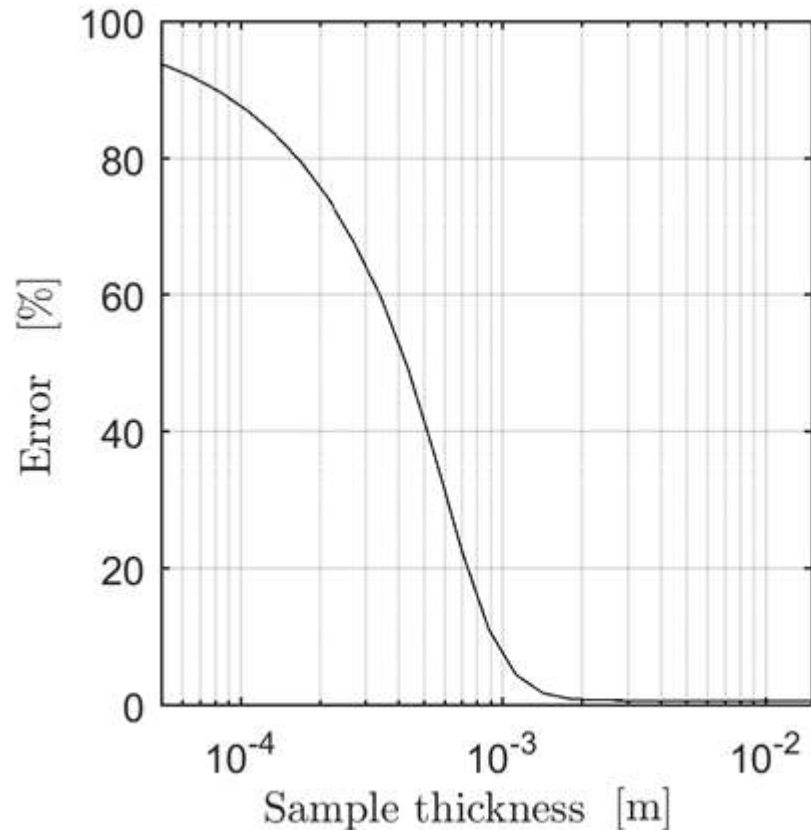
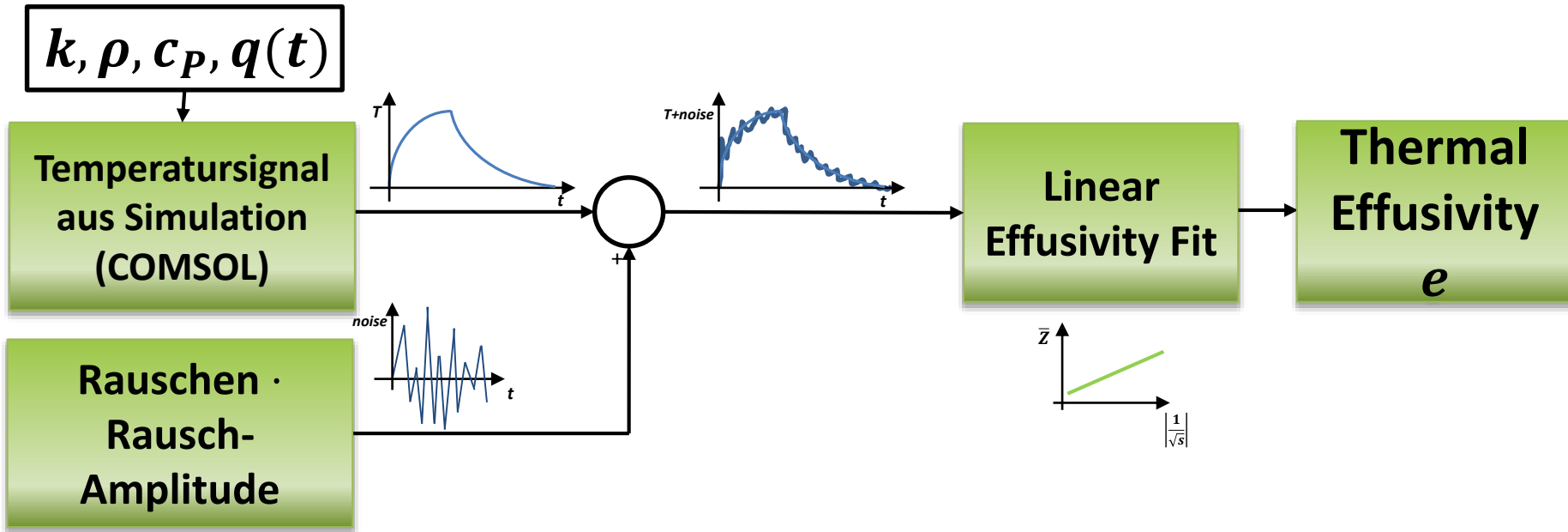


Diagramm gilt für $e = e_{CFRP} \approx 1100 W m^{-2} K^{-1} s^{0.5}$

Simulation

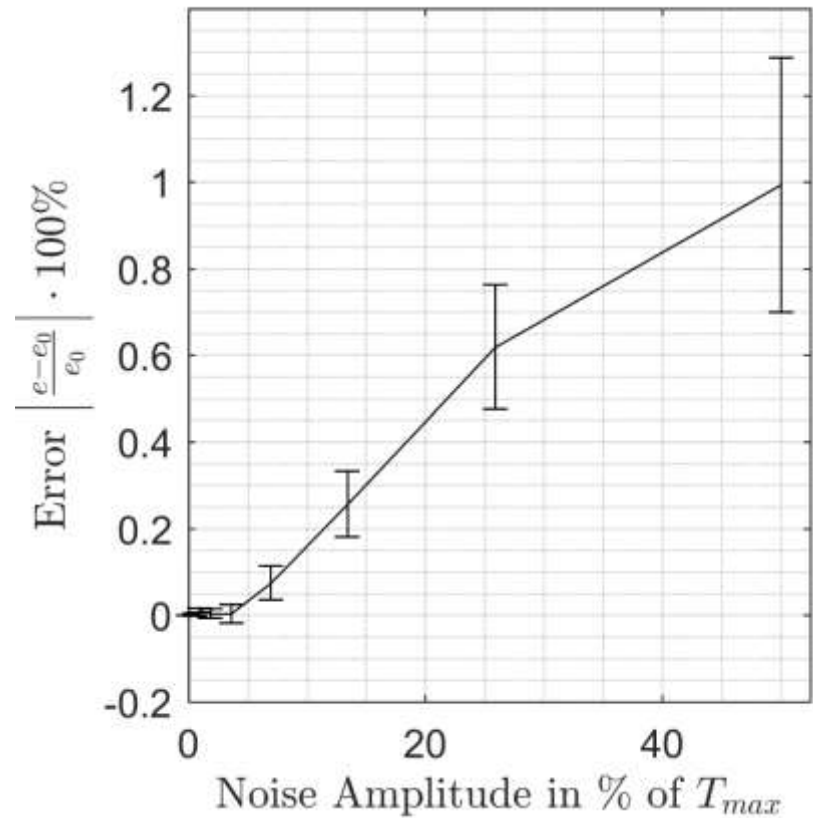
Einfluss von Rauschen auf die Methode



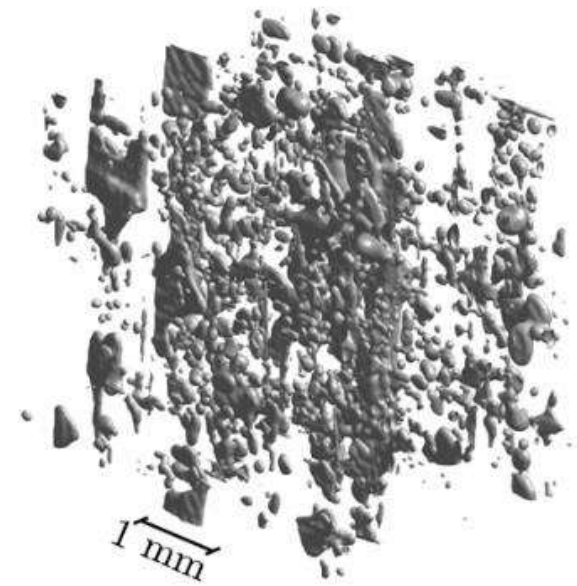
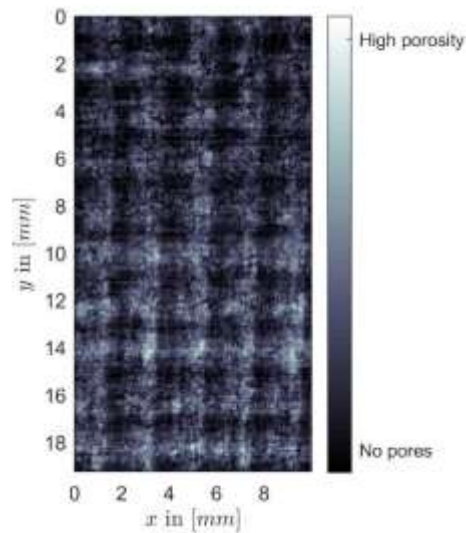
1. Wiederhole n-mal um den statistischen Fehler durch Rauschen zu ermitteln
2. Erhöhe Rausch-Amplitude um den systematischen Fehler zu erhalten

Simulation

Einfluss von Rauschen



Experiment Proben

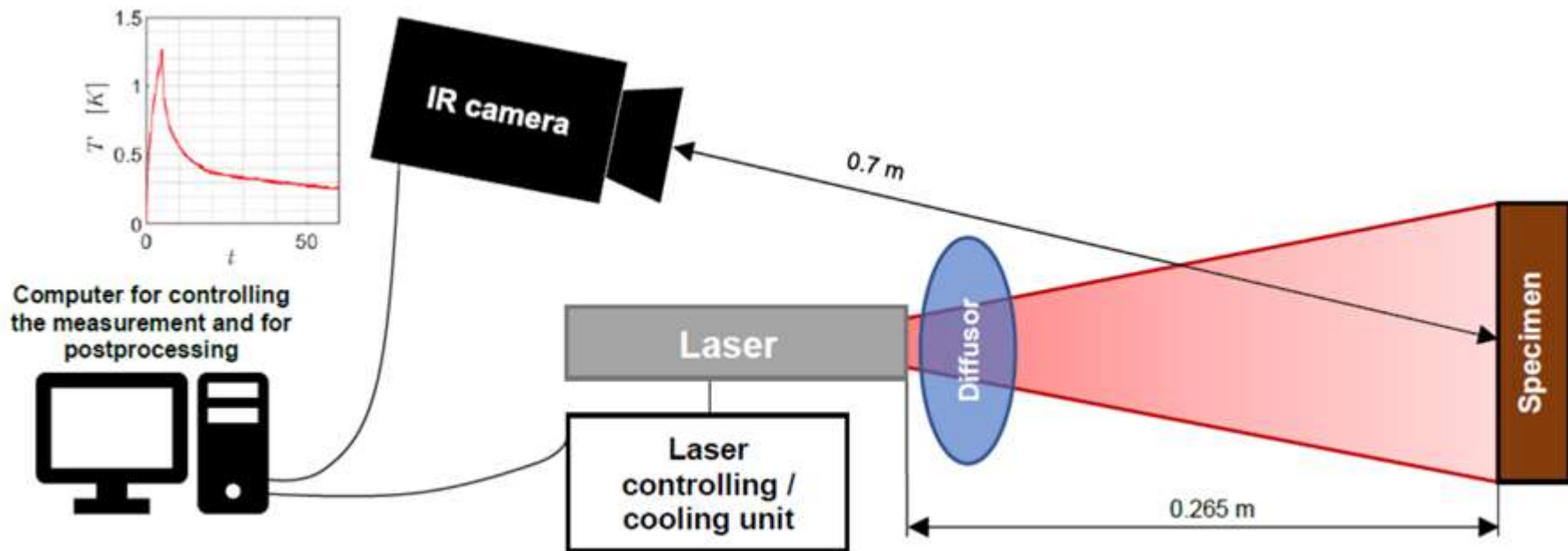


Sample No.	Porosity Φ in [%]	Sample width L in [mm]	Diffusion time t_0 in [s]
1	0	4.25	46
2	0	4.34	50.6
3	0.32	4.32	48.52
4	0.45	4.36	52.4
5	0.94	4.36	51.76
6	1.49	4.51	55.94
7	3.64	4.51	59.52
8	5.62	4.7	63.85
9	9.99	4.82	74.87
10	10.0	4.83	75.19

$$e_{CFRP} \approx 1100 W s^{0.5} K^{-1} m^{-2}$$

$$e_{Air} \approx 5 W s^{0.5} K^{-1} m^{-2}$$

Experiment Setup



IR camera: FLIR X8400SC (InSb-Detektor)

Laser: Lumics LU0808D300, $\lambda=808$ nm, $P = 30$ W

Numerische Laplace-Transformation

$$\bar{f}(s) = \mathcal{L}\{f(t)\} = \Delta_t \sum_{n=0}^{\infty} e^{-sn\Delta_t} \cdot f(n\Delta_t)$$

s ... komplexer Frequenzparameter ($s = \sigma + j\omega$)

Δ_t ... Abtastzeit

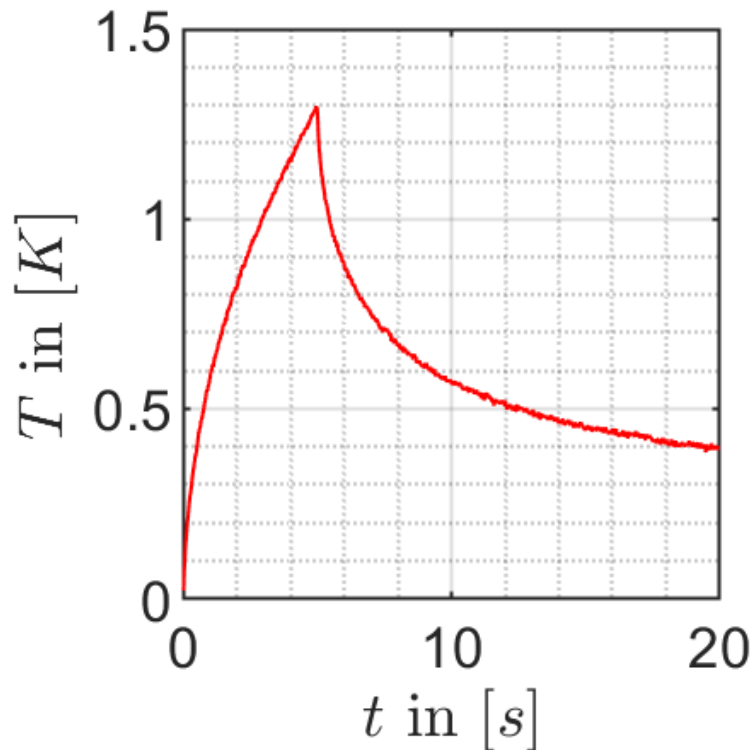
n ... Index (Zeitschritte)

$f(n\Delta_t)$... zu transformierende Funktion $f(n\Delta_t) \triangleq f(t)$

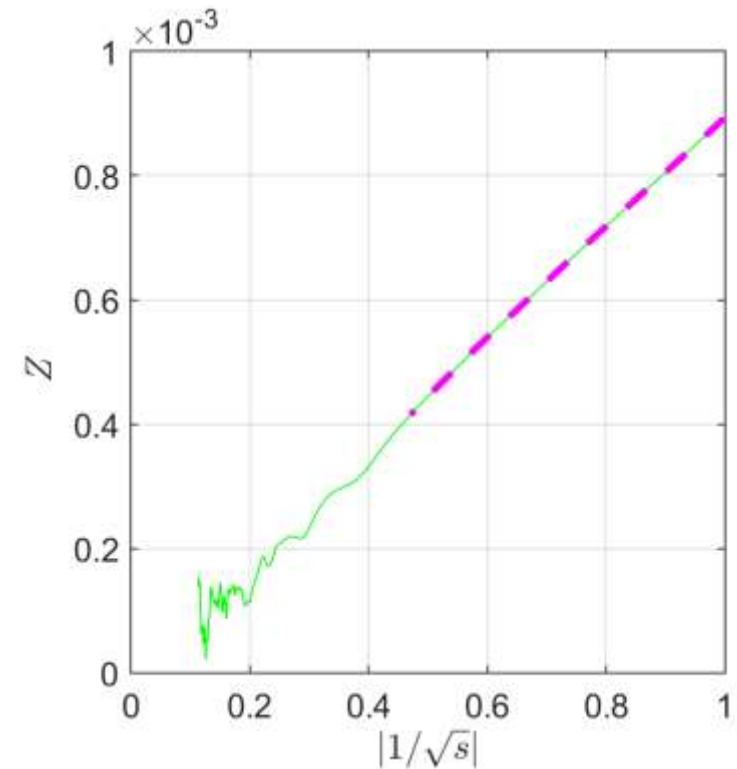
Für alle Berechnungen wurde $Re(s) = 1$ verwendet.

Experiment Messungen

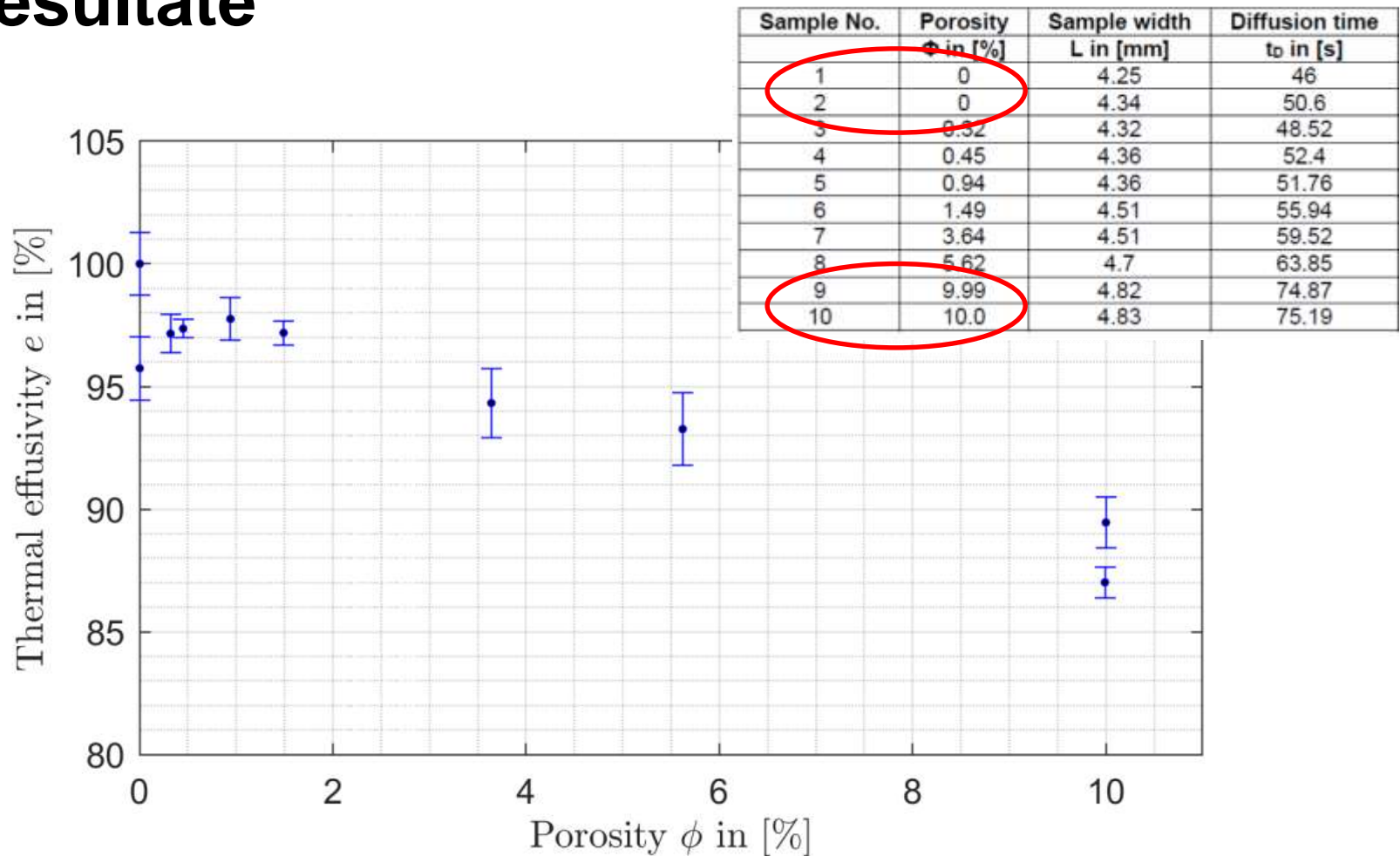
Temperatur $T(t)$



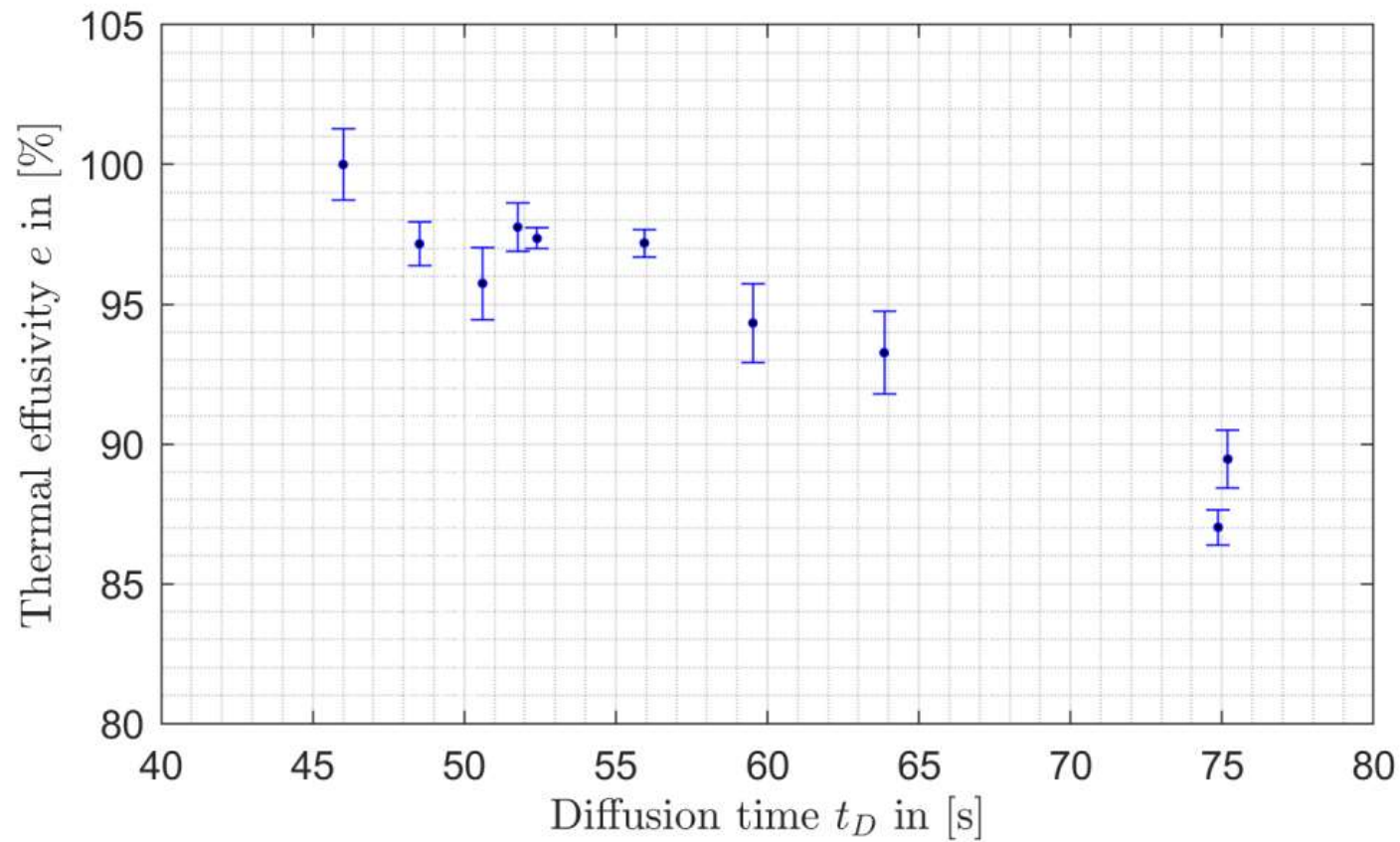
Übertragungsfunktion $Z(s)$



Experiment Resultate



Experiment Resultate



Vor- und Nachteile des LEF

Vorteile

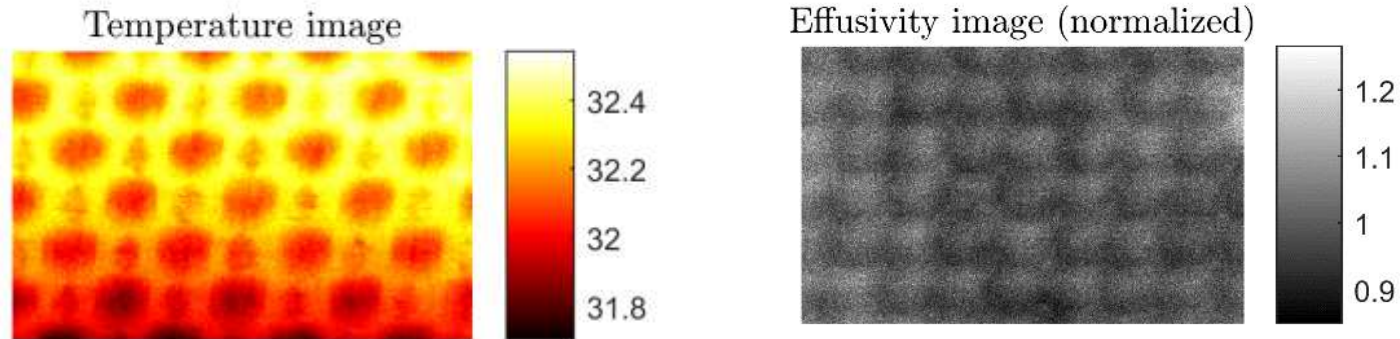
- Es wird nur ein linearer Fit benötigt, keine Fits höherer Ordnung.
- Anregungs- und Abkühlphase kann zur Auswertung verwendet werden.
- Flexible Anregungsdauer.
- Andere Anregungsformen sind möglich.

Nachteile

- Emissivität der Probe ist meist unbekannt.
- Die Anregungsenergie, die von der Probe aufgenommen wird, ist schwer abzuschätzen.
- Numerische Laplace-Transformation ist in Softwaretools meist nicht vorhanden und muss erst implementiert werden.

Ausblick

- Optimieren der Experimentparameter t_{step} , Experimentdauer und Abtastrate.
- Einsatz des LEF als bildgebende Methode.

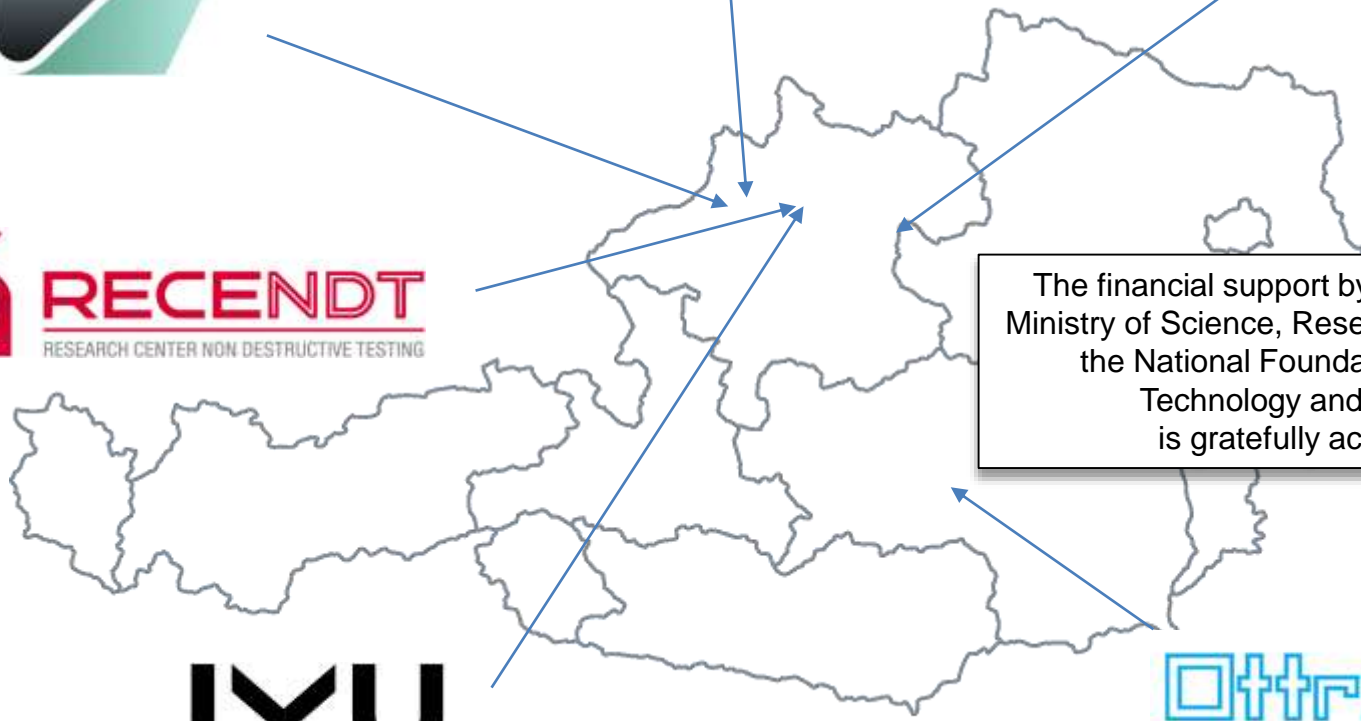


- Experimente mit anderen Anregungsformen.

JOSEF RESSEL CENTER for THERMAL NDE of COMPOSITES



ENGEL



The financial support by the Austrian Federal Ministry of Science, Research and Economy and the National Foundation for Research, Technology and Development is gratefully acknowledged.



Wir bewegen innovativ



Research Group of Thermography & NDT

